

# Kerne und Teilchen

Physik VI

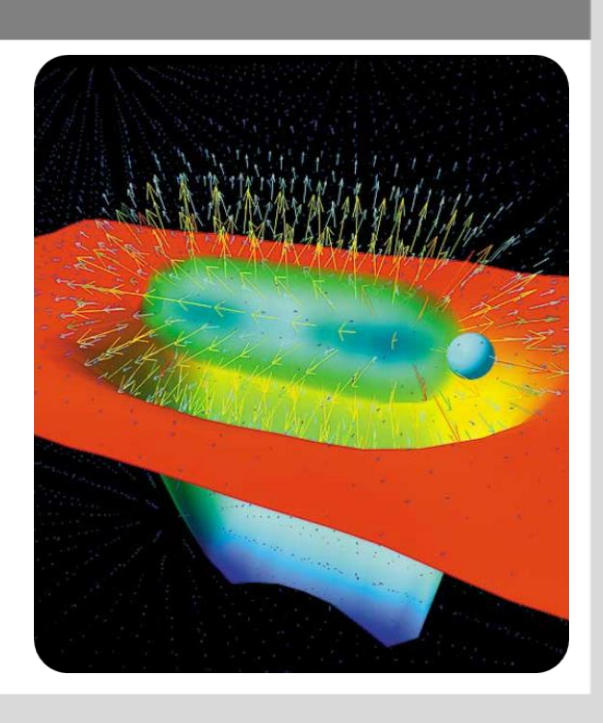
Vorlesung # 13 27.5.2010

Guido Drexlin, Institut für Experimentelle Kernphysik

### Elementarteilchen-Phänomenologie

- Gluonen: Selbstwechselwirkung
- Gluonenbälle (Glueballs)
- Confinement & asymptotische Freiheit
- starke Kopplungskonstante  $\alpha_{\text{s}}$
- intermediäre Vektorbosonen W, Z neutrale Ströme





### Mesonen – Klassifikation & Zerfälle

Spin-Singulett Mesonen (⇩⇧)

pseudoskalares Mesonen-Nonett: ( $\ell = 0$ , S = 0)

- **Pionen:** Isospin-Triplett mit  $\pi^+$ ,  $\pi^-$ ,  $\pi^0$  (M = 135-140 MeV)
- Kaonen: Mesonen mit 'offener' Strangeness (s,s): geladene Kaonen K<sup>+</sup>, K<sup>-</sup>, neutrale Kaonen K<sup>0</sup>, K<sup>0</sup> (M~500 MeV)
- Spin-Triplett Mesonen (企企)

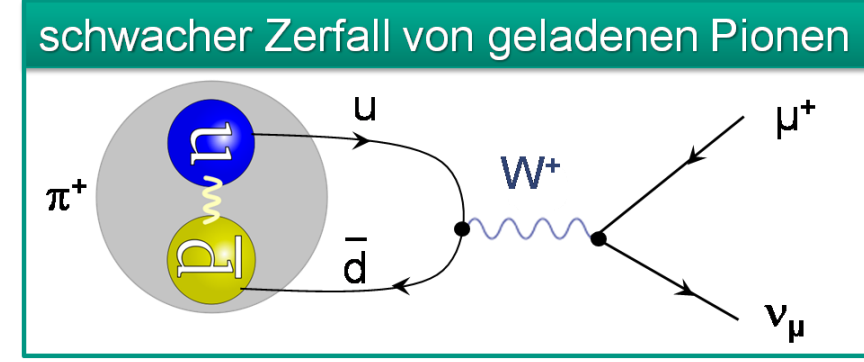
vektorielles Mesonen-Nonett: ( $\ell = 0$ , S = 1)

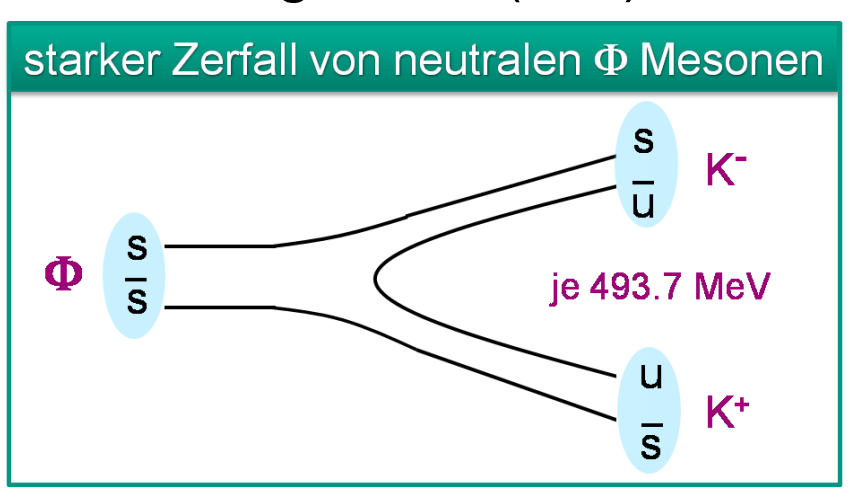
- $\rho$ -Mesonen: Isospin-Triplett mit  $\rho$ +,  $\rho$ -,  $\rho$ 0 (M = 770 MeV)
- Eta-Mesonen: neutrale Mesonen mit 'verdeckter' Strangeness (s+s):
- Meson-Zerfälle: starke/elmagn./schwache Ww.

 $\tau = 10^{-8} \dots 10^{-24} \, \text{s}$ 

**Zweig-Regel:** 

**Quark-Linien** ununterbrochen





Bahn-

drehimpuls

Spin

Spin

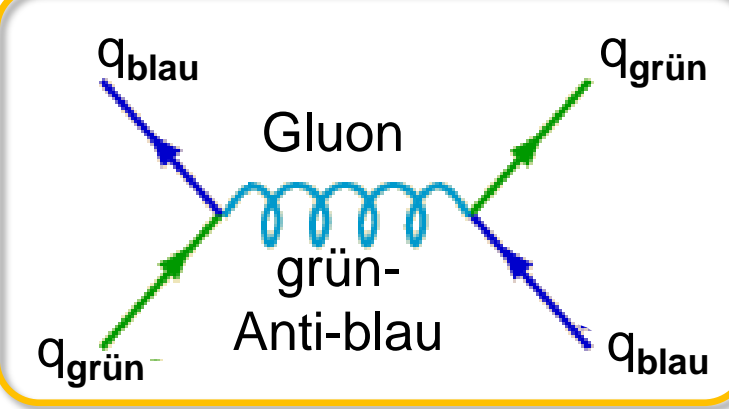
# Gluonen – Grundlagen

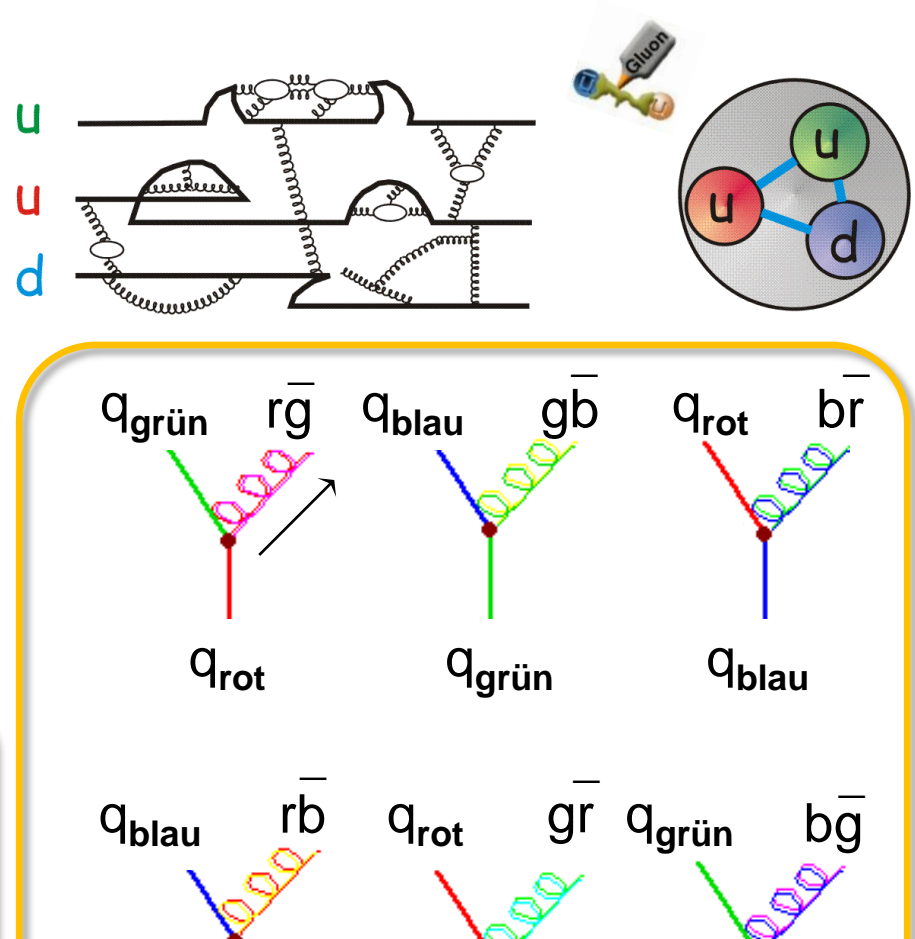
- Hadronen (Baryonen & Mesonen) sind QCD 'farbneutrale' Objekte in einem Farb-Singulett-Zustand
- Farbfreiheitsgrad wichtig für eine vollständig antisymmetrische Wellenfunktion

$$\Delta^{++} = |u\,u\,u\rangle \cdot |\uparrow\uparrow\uparrow\rangle \cdot |\ell=0\rangle \cdot \left|\frac{1}{\sqrt{6}} \varepsilon^{ijk} q_i q_j q_k\right\rangle$$
Flavour Spin Orbital- $\ell$  Farbfreiheitsgrade

in der QCD existieren 8 Gluonzustände ('Farboktett'):

- linear unabhängig
- masselosesSpin 1 Boson
- Gluon: Farbe +Anti-Farbe





q<sub>grün</sub>

q<sub>rot</sub>

q<sub>blau</sub>

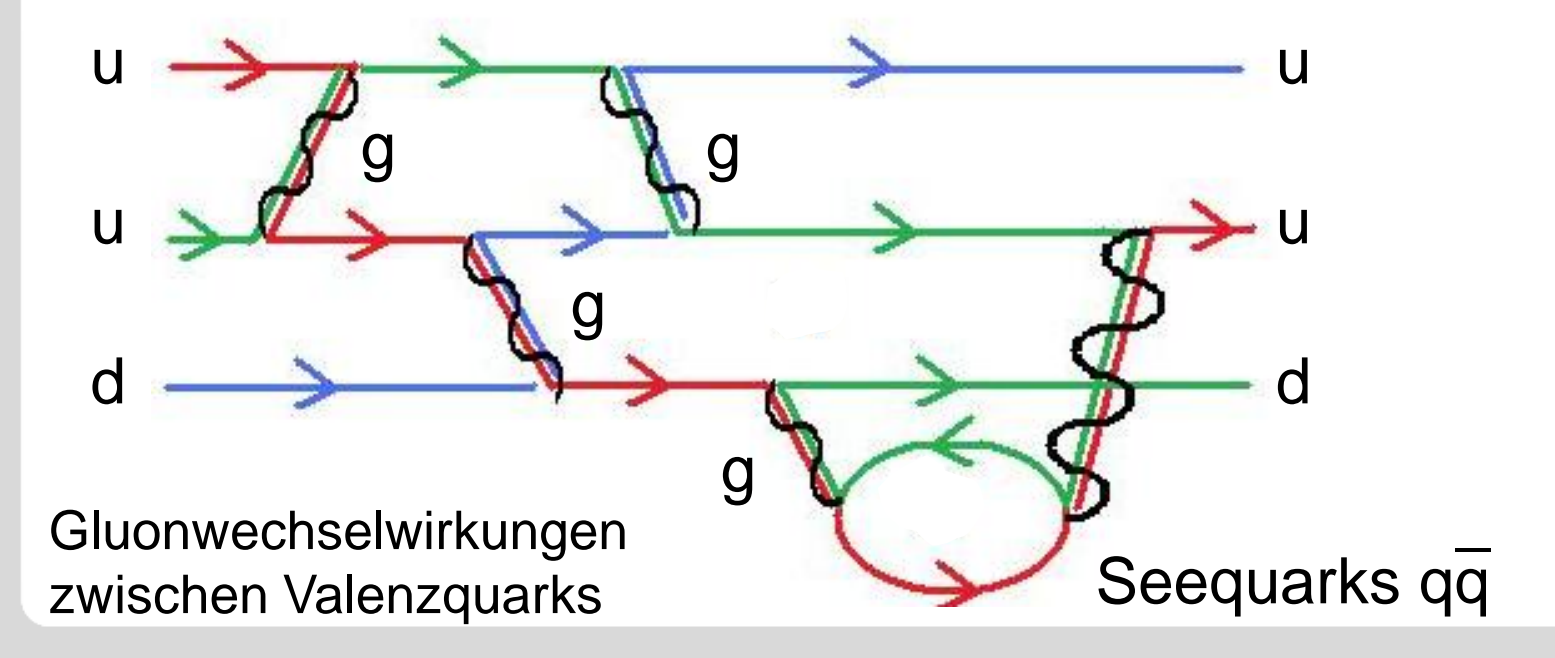
# Farbe und SU(3)<sub>c</sub> Symmetriegruppe

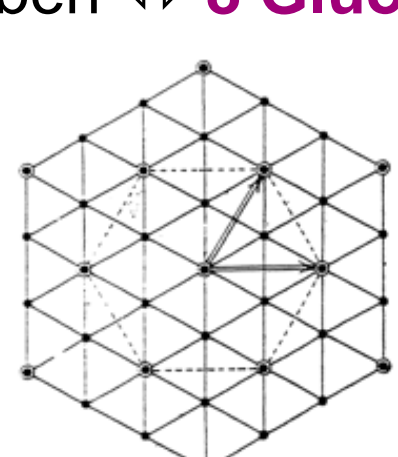


- Regeln der Quantenchromodynamik:
  - gleiche Farbladungen stoßen sich ab
  - Farbe & Antifarbe ziehen sich an ♦ Meson als qq – Bindungszustand),
  - antisymmetrischen Zustände ziehen sich an



- die Farbladungen spannen einen 3-dimensionalen Farbladungsraum auf
- die SU(3) Eichgruppe wird durch 8 Parameter beschrieben ⇔ 8 Gluonen





QCD: Spezielle Unitäre Gruppe SU(3) [Lie-Gruppe]

## Gluonen: Selbstwechselwirkung

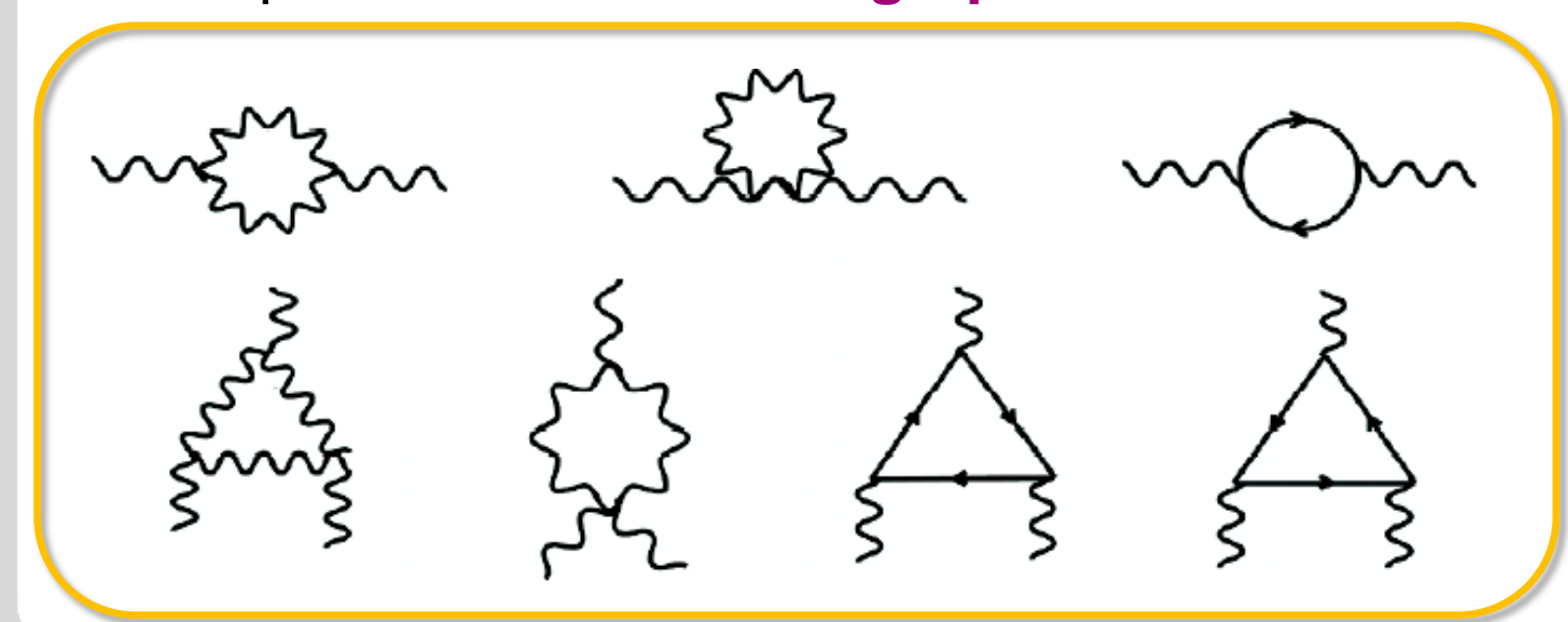


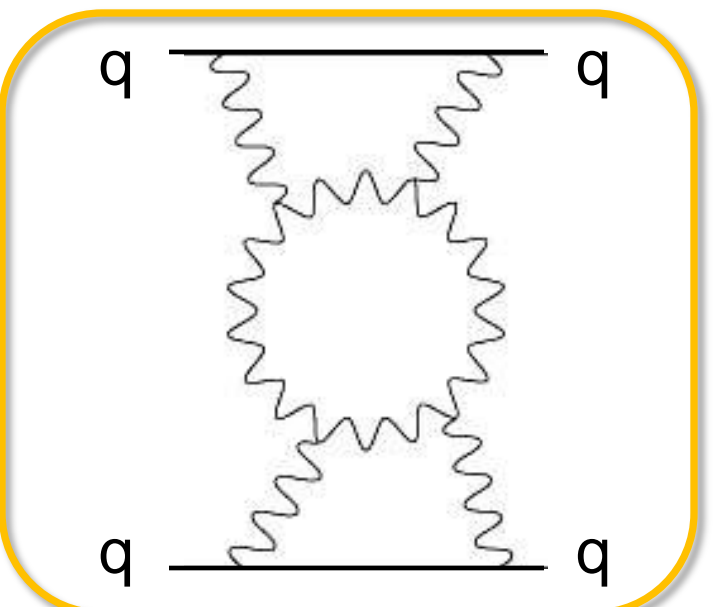
### ■ QED (Elektrodynamik):

Photonen (γ) als Eichbosonen tragen selbst keine elektrische Ladung & unterliegen als neutrale Teilchen keiner Selbstwechselwirkung

### QCD (Chromodynamik):

- Gluonen (g) tragen selbst QCD-Farbladungen und können daher nicht nur mit Quarks sondern auch untereinander in Wechselwirkung treten
- die Selbstwechselwirkung der Gluonen führt zum Auftreten von komplexeren QCD-Vertexgraphen

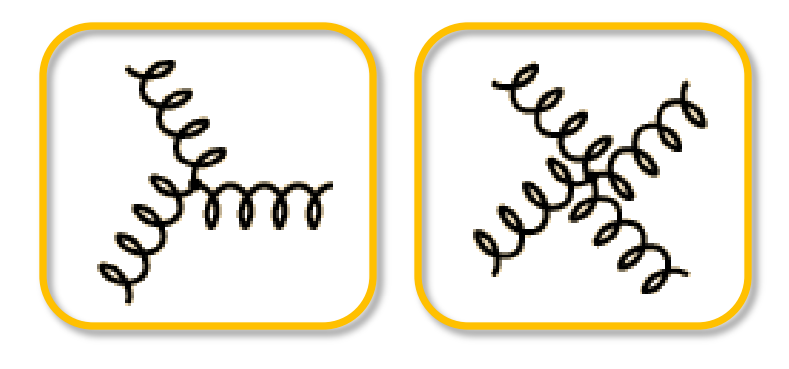




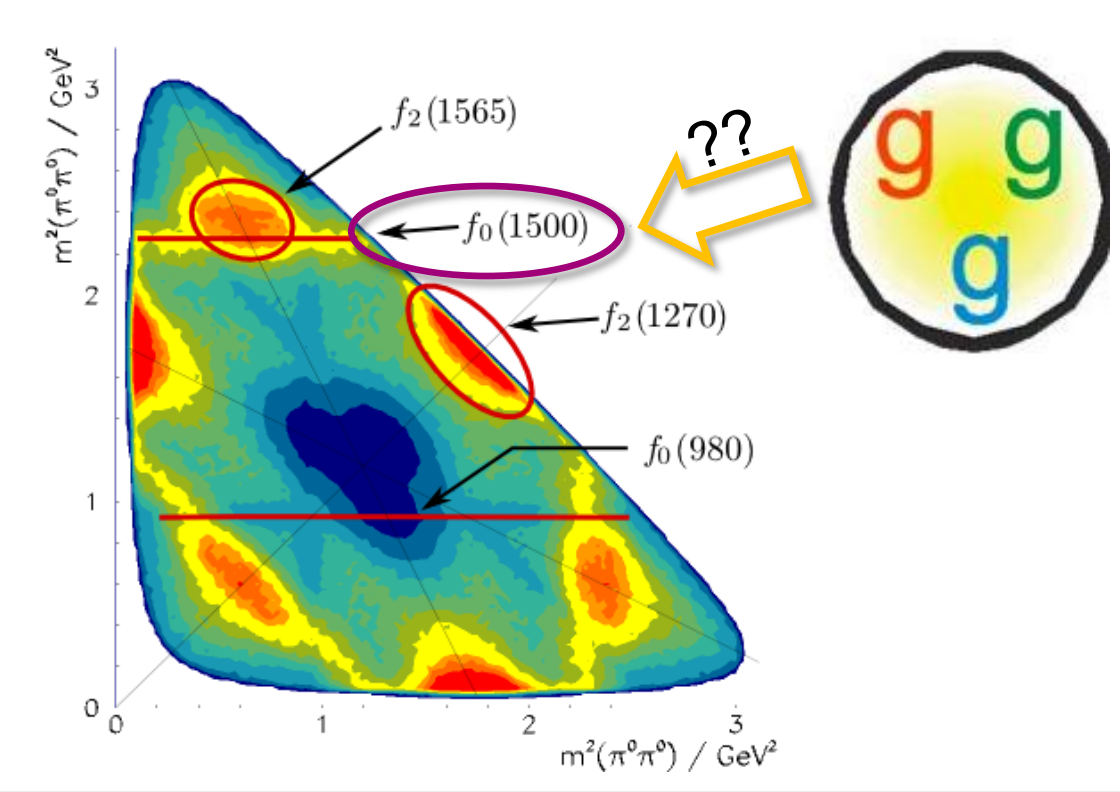
### Gluonenbälle als exotische QCD-Zustände



- die Gluonselbstwechselwirkung kann zu gebundenen Zuständen führen, die keine Quarks enthalten: Glueballs
  - die hypothetischen Gluonenbälle bestehen nur aus den Strahlungsquanten der starken Wechselwirkung
  - in der QCD werden Gluonenbälle bei Massen M = 1500 – 1700 MeV erwartet (stark modellabhängig)
- 3-Körper-Zerfälle von schweren Mesonen: die Resonanz f<sub>0</sub>(1500) wird als ein möglicher Glueball-Kandidat angesehen (Verifikation?) Darstellung des f<sub>0</sub> im Dalitzplot (Auftragung invarianter 2-Pionmassen)



Gluon-Selbstwechselwirkung

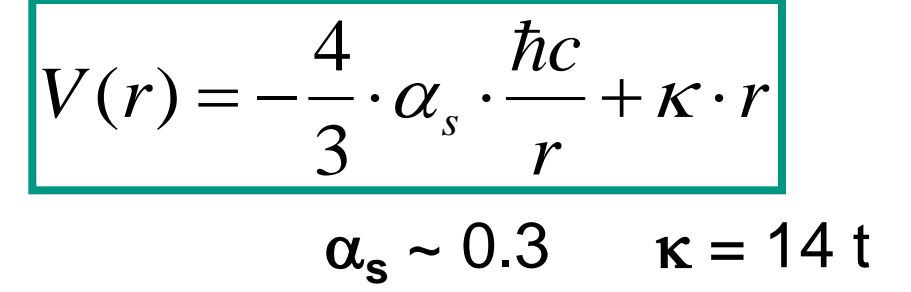


27.5.2010

### Gluonen: Fluss-Schläuche & Confinement

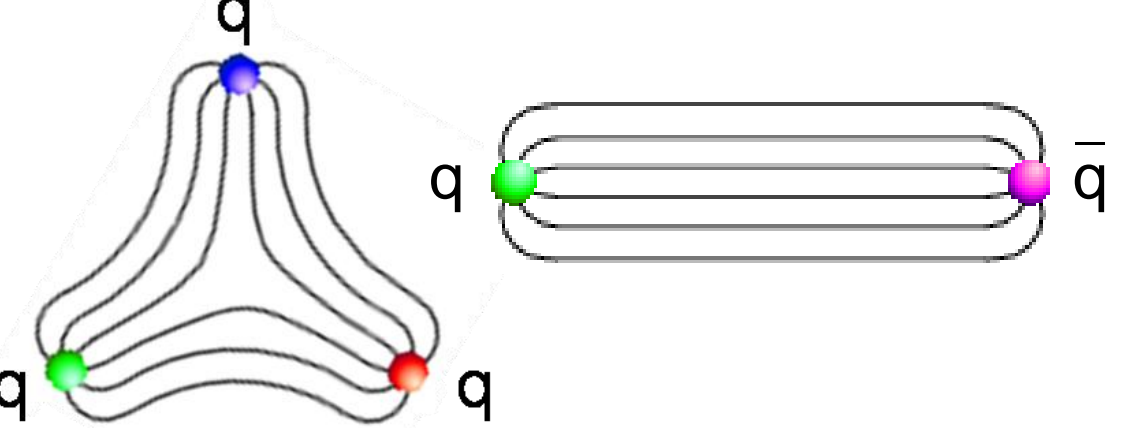


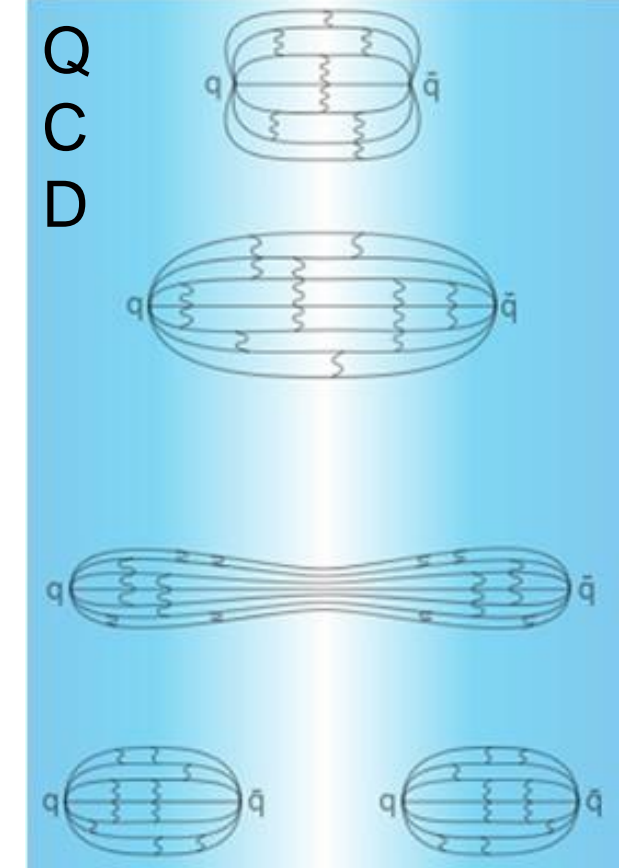
- die Gluon-Gluon-Selbstwechselwirkung erzeugt bei einer räumlichen Trennung von Quarks zylindrische Farb-Flussschläuche mit einer konstanten Feldstärke über Länge der Fluss-Röhre
- Quark-Antiquark-Potenzialansatz mit: 1/r 'Coulombansatz' 2 linearer Term

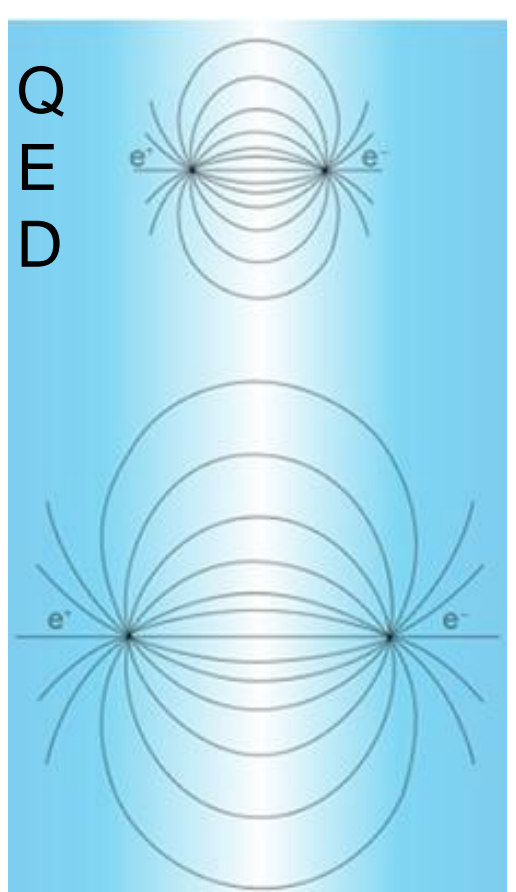


E<sub>pot</sub> nimmt für große r stark zu!

♦ Quark-Confinement in ~ 1 fm







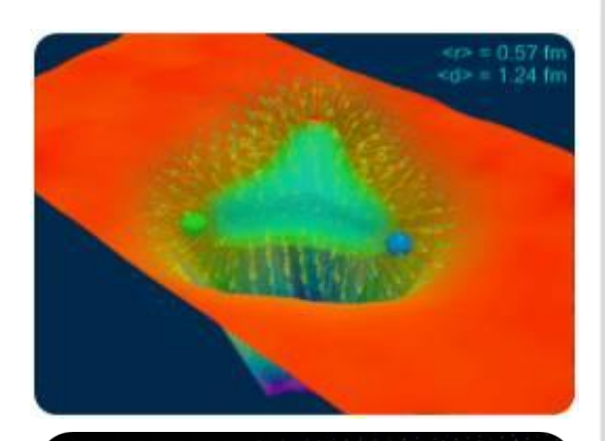
## Asymptotische Freiheit in der QCD

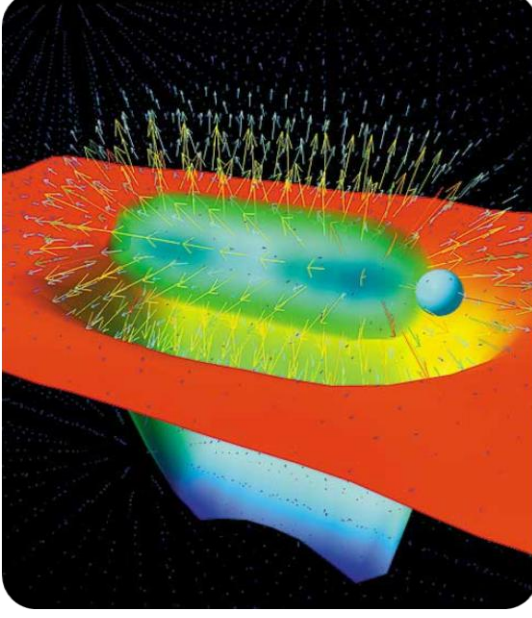


 bei extrem kurzen Abständen sollten sich die Quarks entsprechend der QCD (Wilzeck, Gross, Politzer) wie nahezu freie Teilchen verhalten

### 'asymptotische Freiheit'

 dieser Effekt der QCD ermöglicht die Anwendung des Quark-Parton Modells zur Interpretation der tiefinelastischen eN-Streuung (vgl. Kap. 3.2)











Nobelpreis 2004



"for the discovery of asymptotic freedom in the theory of the strong interaction"

Frank Wilczek David J. Gross H. David Politzer

**10** 27.5.2010 G. Drexlin – VL13 KIT-IEKP

### Confinement & Jetstrukturen

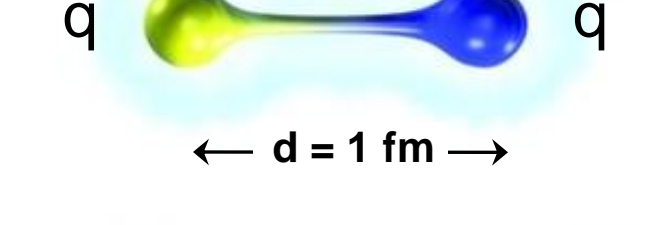


- bei einem harten Stoßprozess wird das qq-Paar räumlich voneinander getrennt & die Energie im farbelektrischen Flussschlauch wird so groß, dass ein weiteres Quark-Antiquark Paar erzeugt wird, man erhält damit 2 Mesonen
- Meson

Energie-Abschätzung bei d = 1 fm (linearer Term)

$$V \cong 9.81 \times 14 \cdot 10^{3} \times 10^{-15} J$$
$$= 1.4 \cdot 10^{-10} J \cong 0.9 \ GeV$$

$$\kappa = 14 t$$



Energie ist ausreichend für neues qq-Paar

Meson Meson

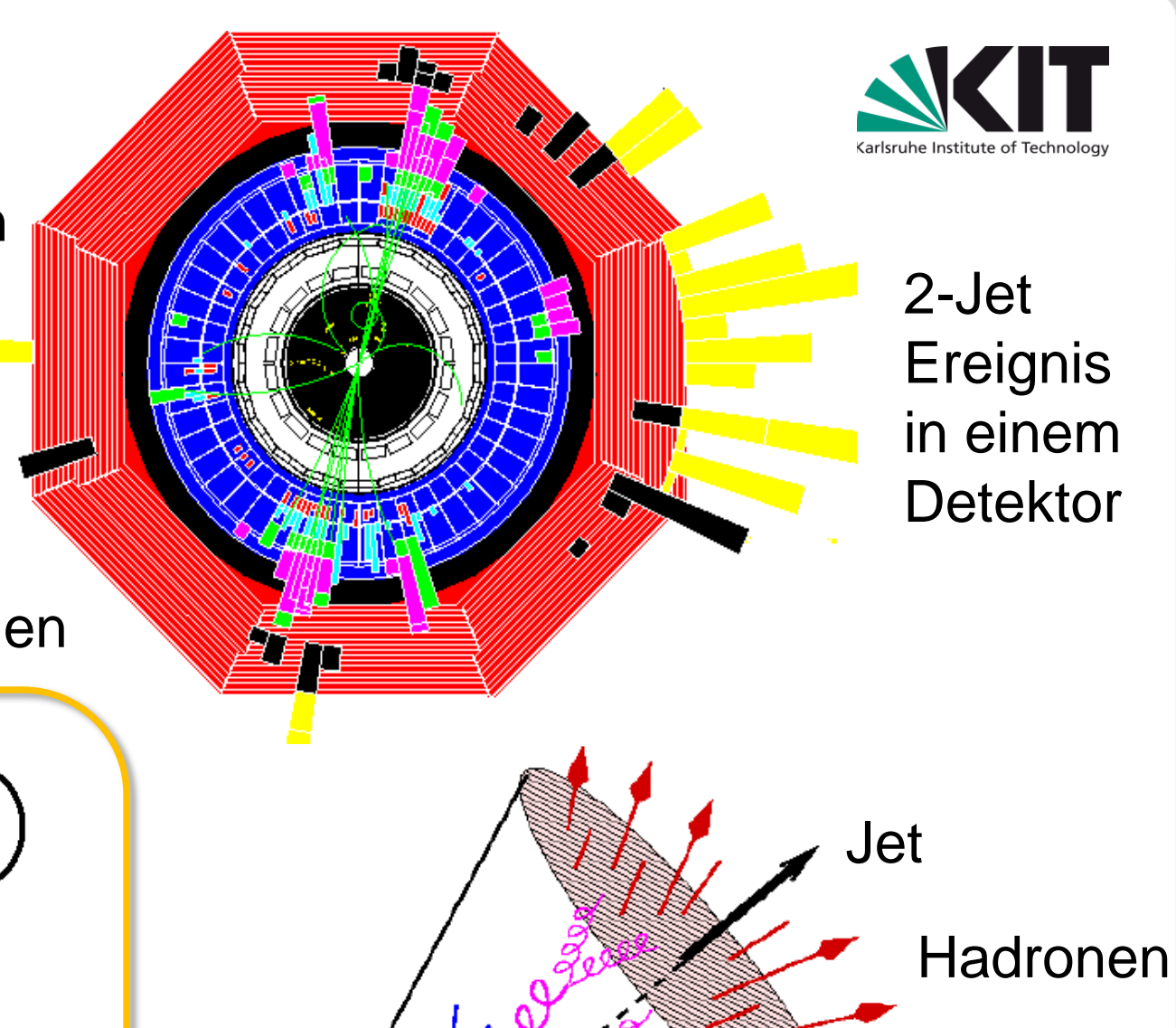
- dieser Prozess kann sich mehrmals wiederholen: Bildung von zahlreichen Quark-Antiquark Paaren Ausbildung eines hadronischen Jets

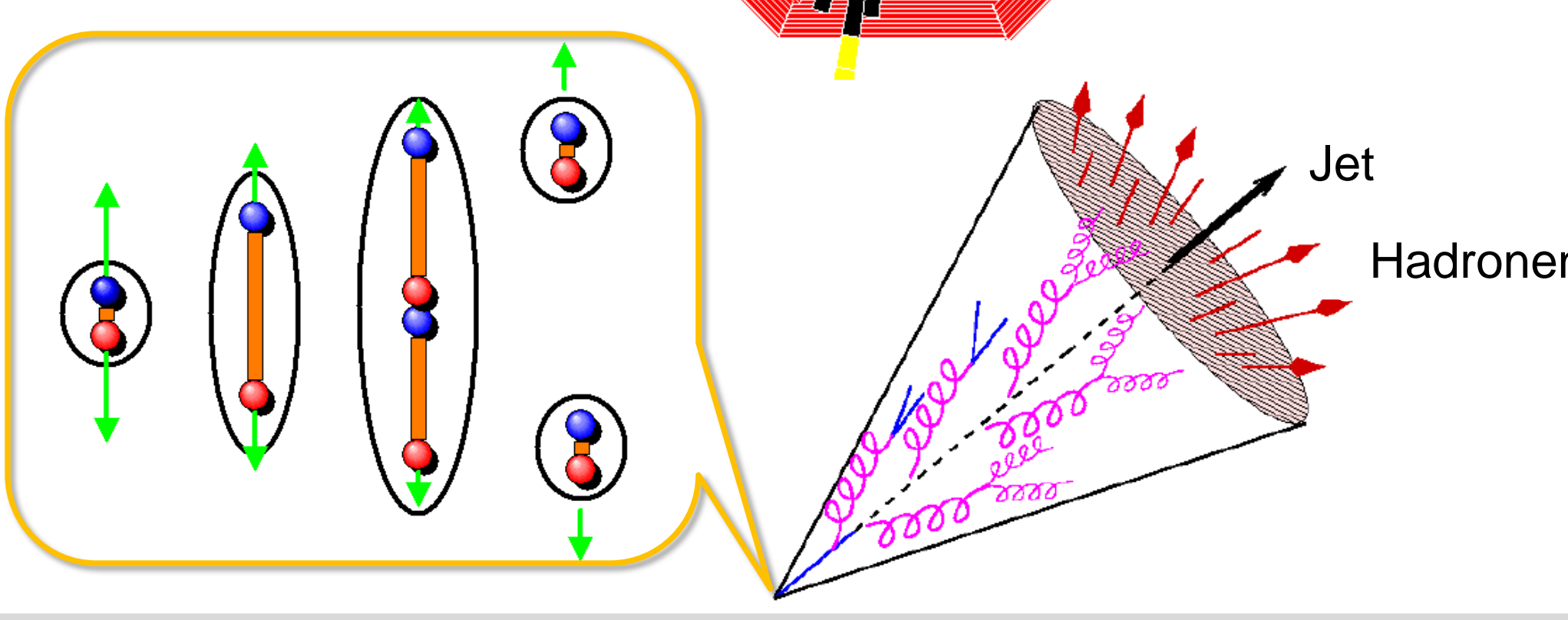
11

### Jetstrukturen

 Ausbildung eines beobachtbaren hadronischen Jets:
 Pionen, schwere Mesonen, Nukleonen, Hyperonen,...

aus den Jet-Parametern (E<sub>T</sub>, p<sub>T</sub>)
 Rückschluss auf die Primärteilchen





G. Drexlin – VL12 KIT-IEKP

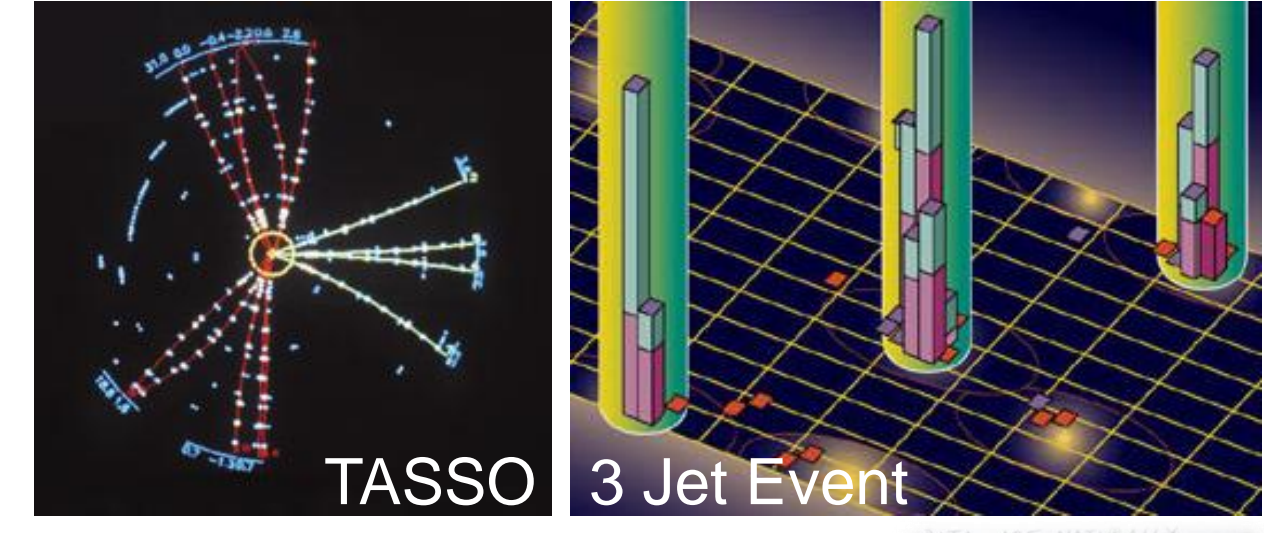
27.5.2010

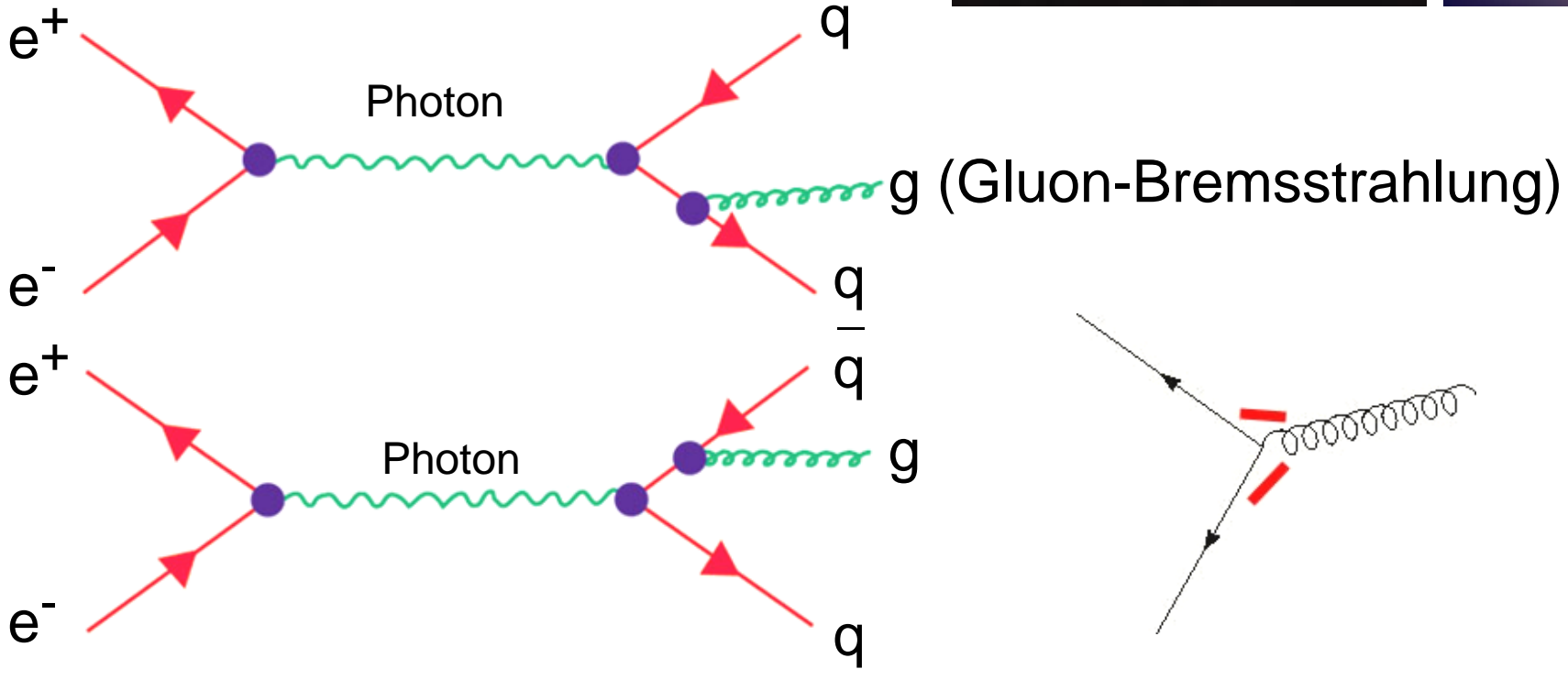
# Gluonen: Nachweis in 3 Jet Ereignissen

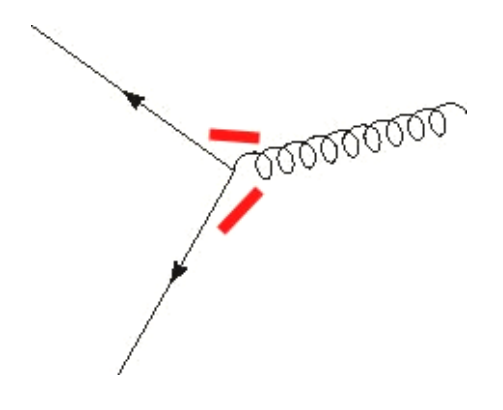


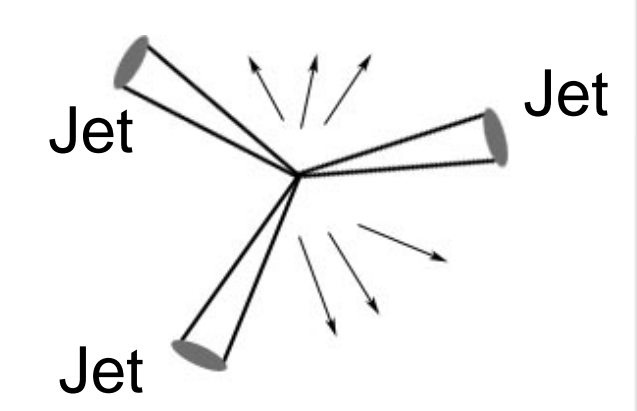
#### **Gluonnachweis am DESY:**

TASSO Detektor am PETRA e<sup>+</sup>e<sup>-</sup> Speicherring Quark – Antiquark Jets und Abstrahlung eines harten Gluons ⇒ 3 Jet Struktur

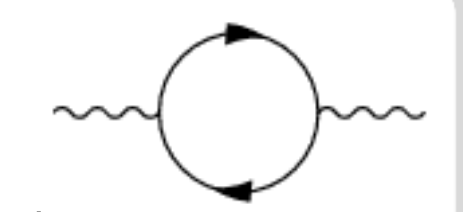








# Vakuumpolarisation in QED und QCD



- die Stärke einer Wechselwirkung (Kopplungskonstanten α, α<sub>s</sub>) variiert mit dem Impulsübertrag Q² zwischen den beteiligten Teilchen Grund: der Vakuumzustand einer Quantenfeldtheorie (QED, QCD) ist ein sehr komplexer Zustand
- Vakuumfluktuationen erzeugen ständig virtuelle Teilchen-Antiteilchenpaare

(polarisierbares Medium)

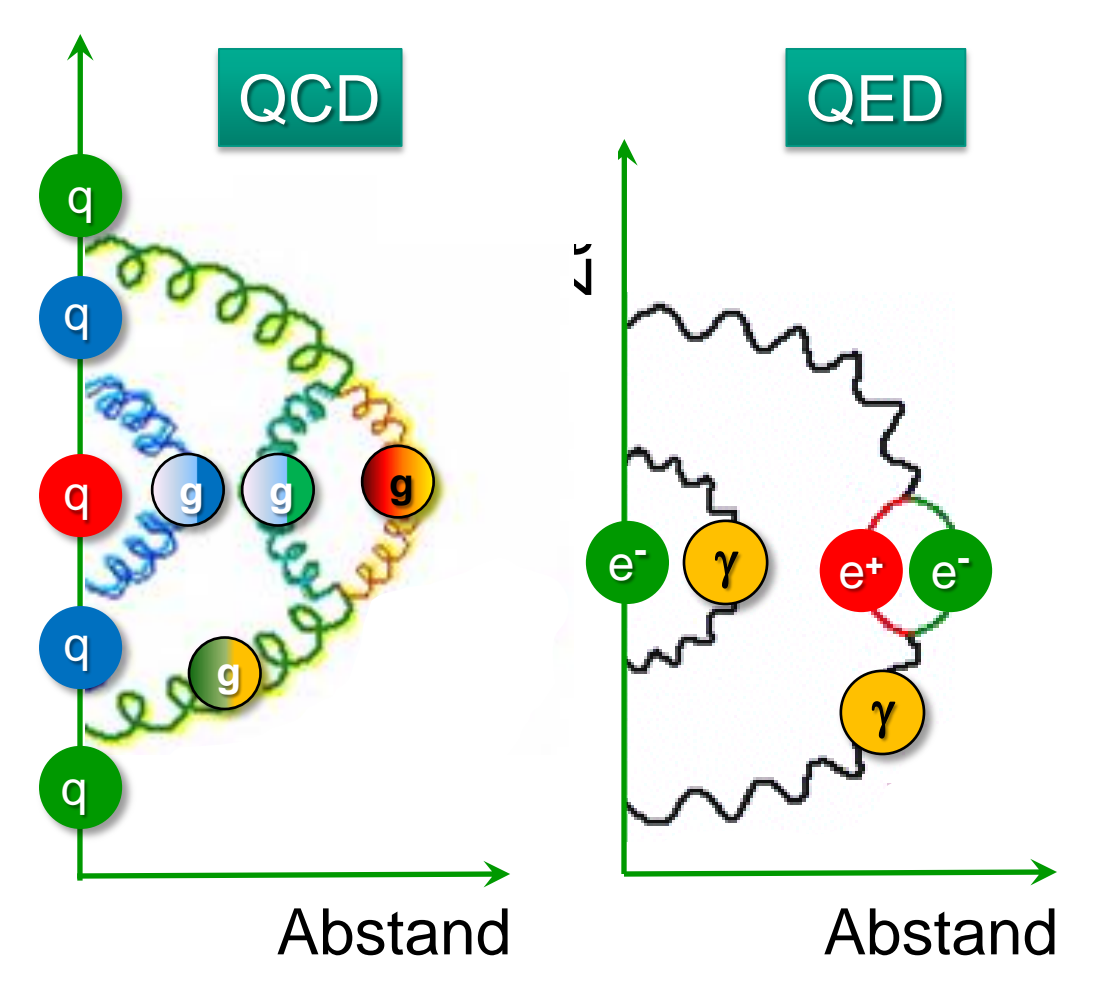
Renormierung der nackten Ladung

#### **QED:**

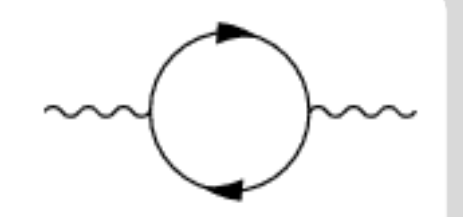
Photonen erzeugen e<sup>+</sup>/e<sup>-</sup> Paare

#### QCD:

Gluonen erzeugen Paare von Quarks/Antiquarks & Gluonen



# Vakuumpolarisation in der QED



#### Quantenelektrodynamik:

"nacktes" Elektron ist von Elektron-Positron-Paaren umgeben, dies führt zu einer **Abschirmung der Ladung** 

- mit wachsendem Abstand d wird effektive
   Ladung e<sub>eff</sub> des Elektrons kleiner
- bei kürzeren Abständen (höhere Energie): größere "nackte" Ladung des Elektrons wird sichtbar

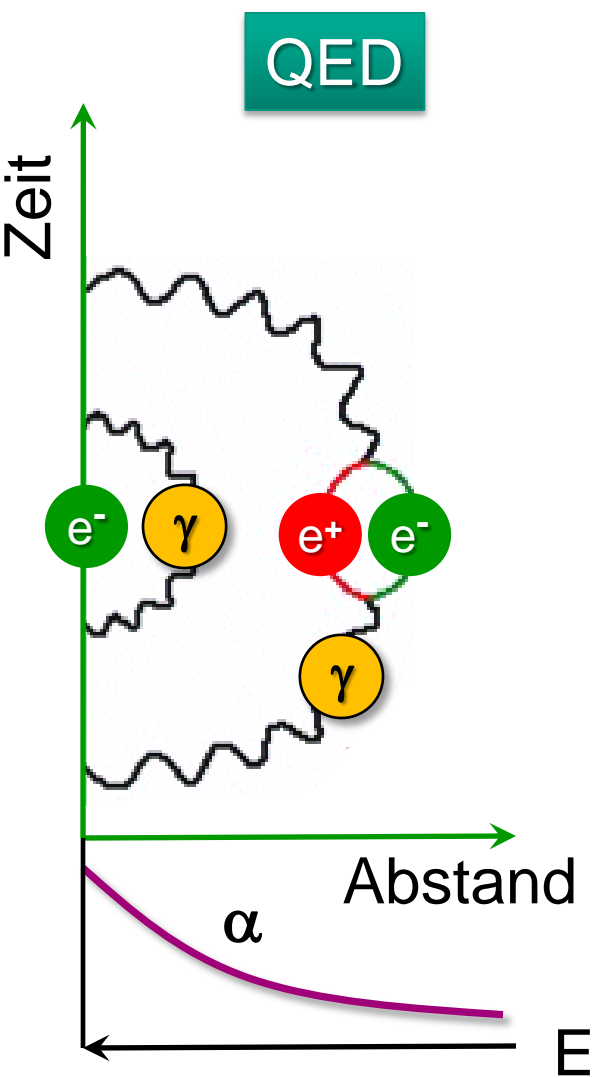
#### **Verlauf der Feinstrukturkonstanten** α:

die Stärke  $e^2 = \alpha$  (Feinstrukturkonstante) der elektromagnet. Wechselwirkung steigt mit der Energie an

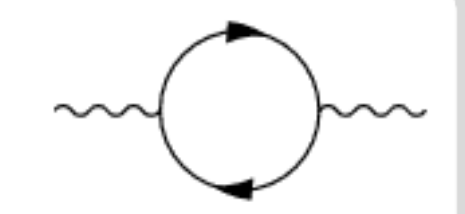
$$\alpha(Q) = \frac{\alpha(\mu)}{1 - \frac{\alpha(\mu)}{\pi} \cdot \ln\left(\frac{Q^2}{\mu^2}\right)}$$

μ: Impulsübertrag

 $\alpha$  = 1/137 bei  $\mu$  = 1 MeV  $\Rightarrow$   $\alpha$  = 1/129 bei  $\mu$  = 90 GeV



## Vakuumpolarisation in der QCD



#### Quantenchromodynamik

- Abschirmung der Farbladung des "nackten" Quarks durch die erzeugten virtuellen Quark/Antiquark Paare (wie bei der QED),

die qq-Paare tragen aber keine Netto-Farbladung

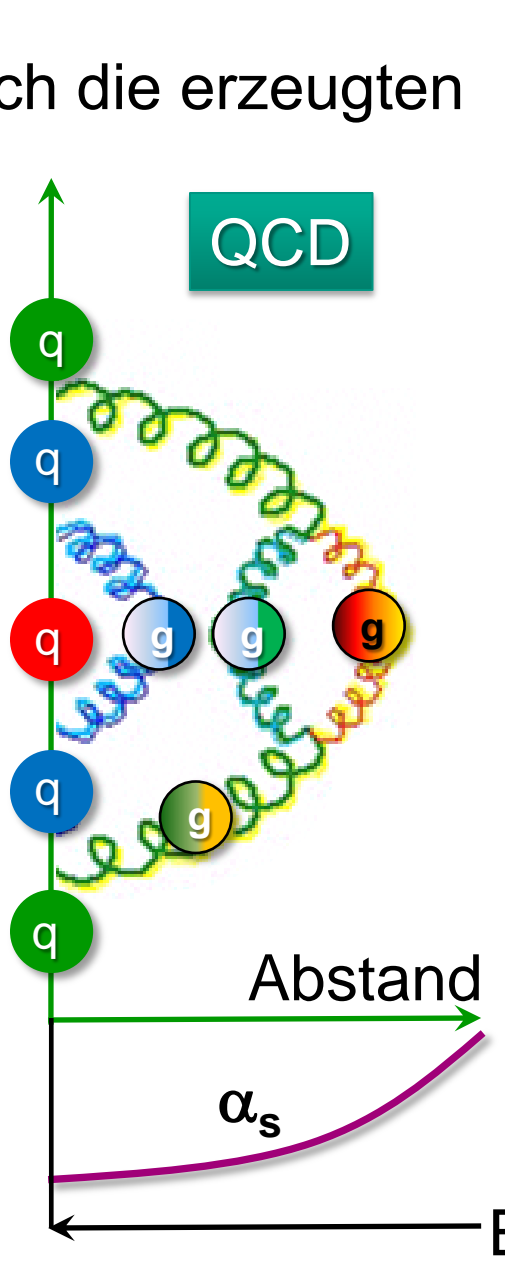
- Anti-Abschirmung der Ladung durch die vom Quark emittierten virtuellen Gluonen, da diese Farbladungen mitnehmen, dies führt zu einer Verschmierung der QCD Ladung auf ein größeres Volumen

- bei kleinen Abständen dominiert der Effekt der Gluonen!

#### Verlauf der Feinstrukturkonstanten α:

die Kopplungs konstante  $\alpha_s$  der QCD wird mit steigender Energie (d.h. bei kleineren Abständen d) durch die schwächere gluonische Anti-Abschirmung kleiner

 $\alpha_s$  wird mit wachsendem Impulsübertrag kleiner



# starke Kopplungskonstante & Abstand

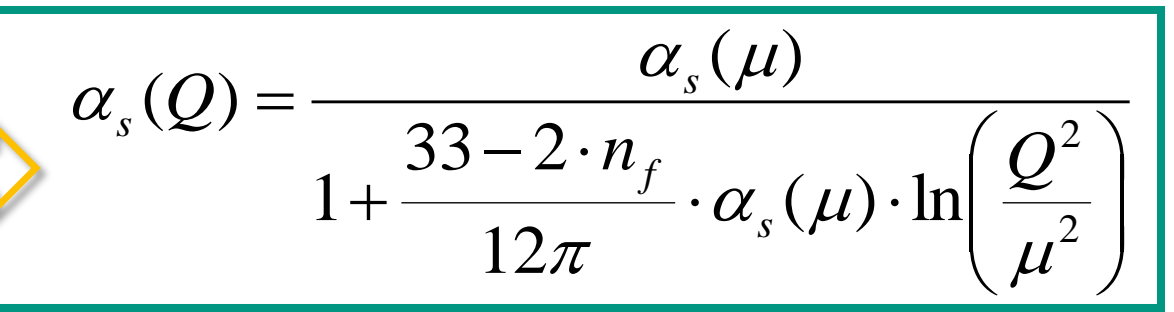


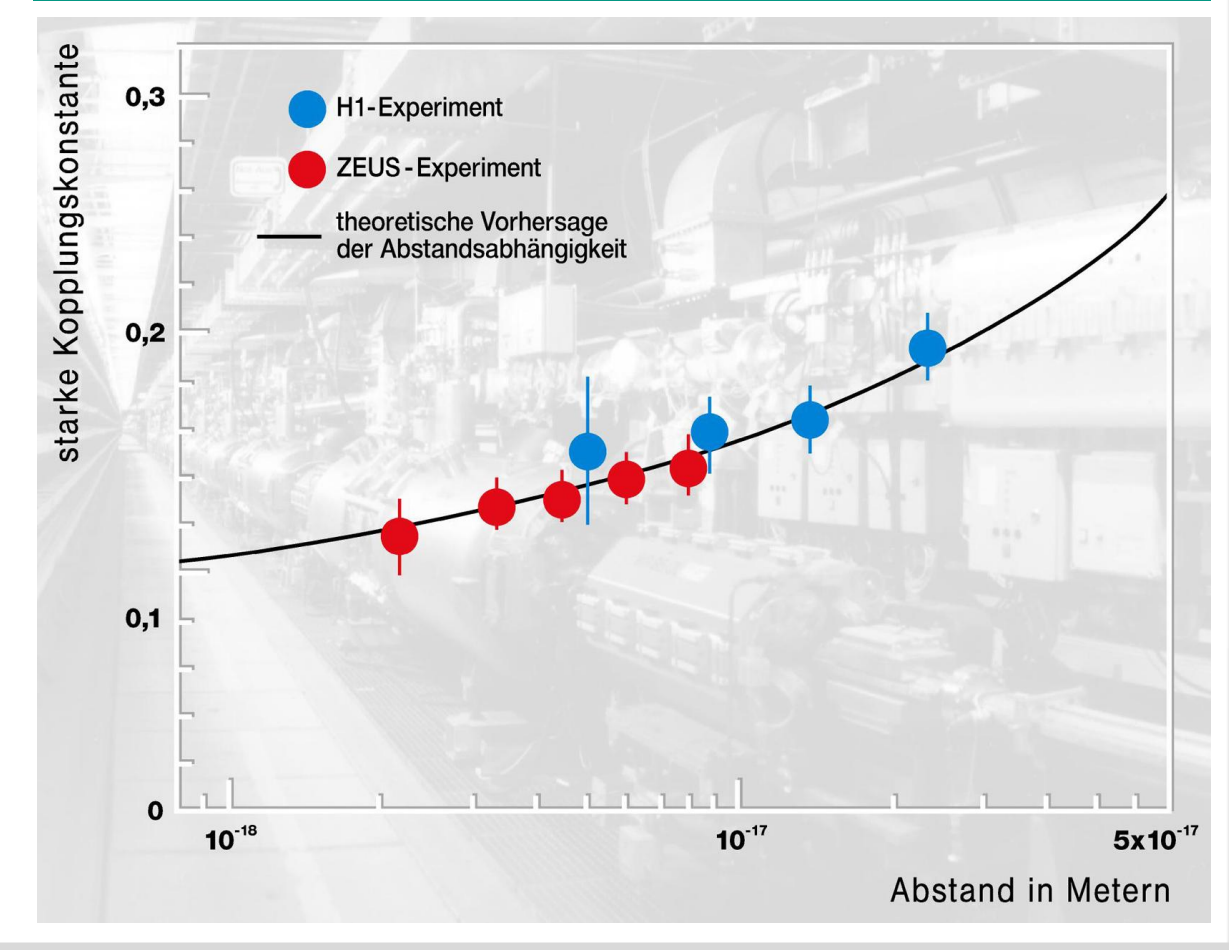
- die starke Kopplungs konstante αs
   αs
   hängt ab vom den Parametern:
  - Impulstransfer µ
  - Zahl N<sub>f</sub> der Quark-Flavourarten
- zwei sehr eng benachbarte
   Quarks fühlen eine schwächere
   Kraft saymptotische Freiheit

$$\alpha_s(Q^2) \overset{Q^2 \to \infty}{\to} 0$$

 zwei weit entfernte Quarks fühlen eine deutlich stärkere Kraft
 Confinement in Hadronen

- für kleine Werte von Q gilt  $\alpha_s \sim 100 \cdot \alpha$ 





# starke Kopplungskonstante $\alpha_s(Q)$



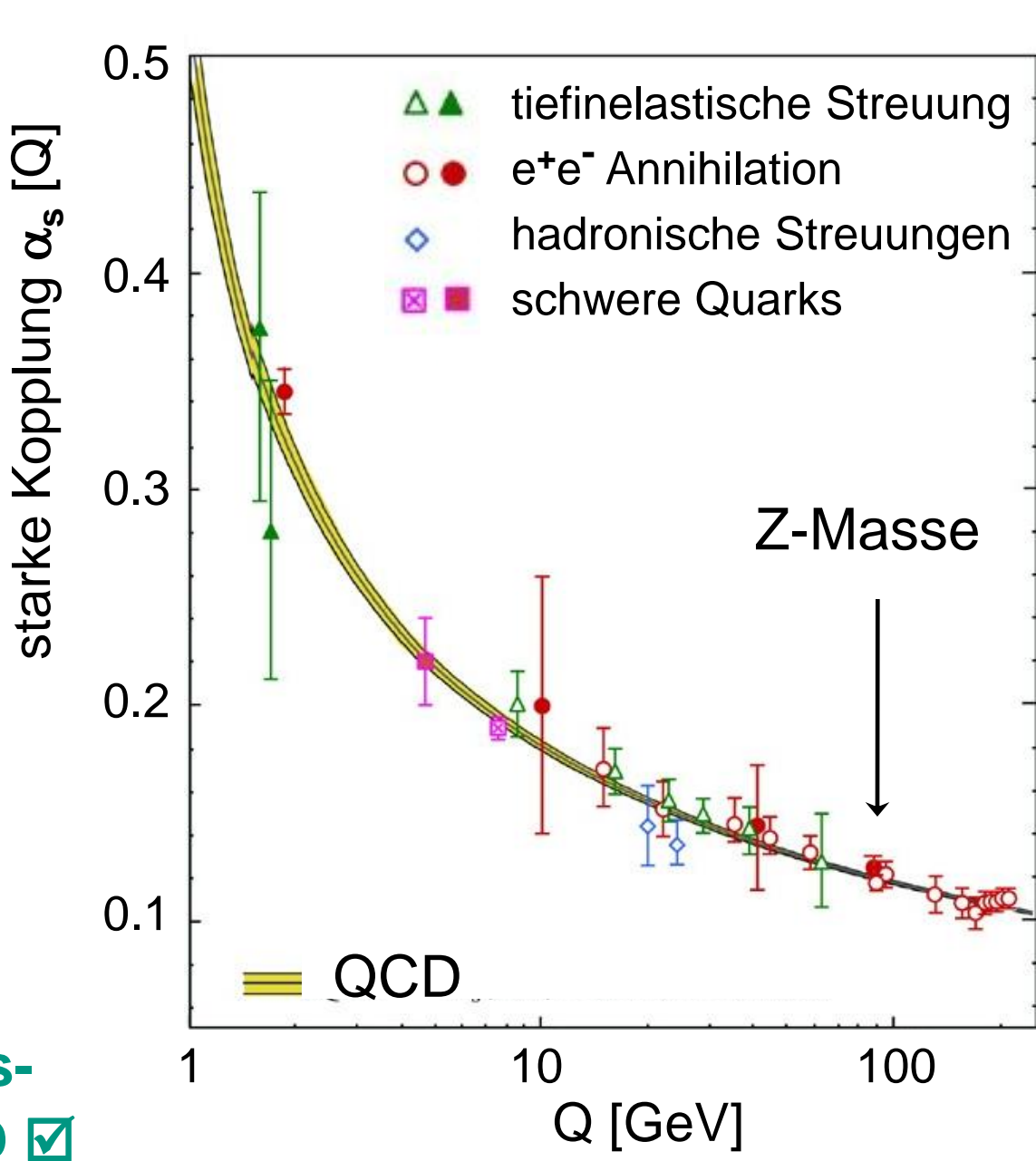
- Zusammenfassung der bei verschiedenem Q-Werten gemessenen Kopplungs-Parameter & Vergleich mit QCD
  - Energie-Bezugspunkt ist die Ruhemasse des Z-Bosons M<sub>z</sub>:

$$\alpha_{s}(M_{z}) = 0.1189 \pm 0.0010$$

da α<sub>s</sub> implizit auch von der Zahl der Farbfreiheitsgrade N<sub>c</sub> abhängig ist, kann aus den experimentellen Daten nach einer Anpassung der Wert von N<sub>c</sub> bestimmt werden:

 $N_f = 3.03 \pm 0.12$ 

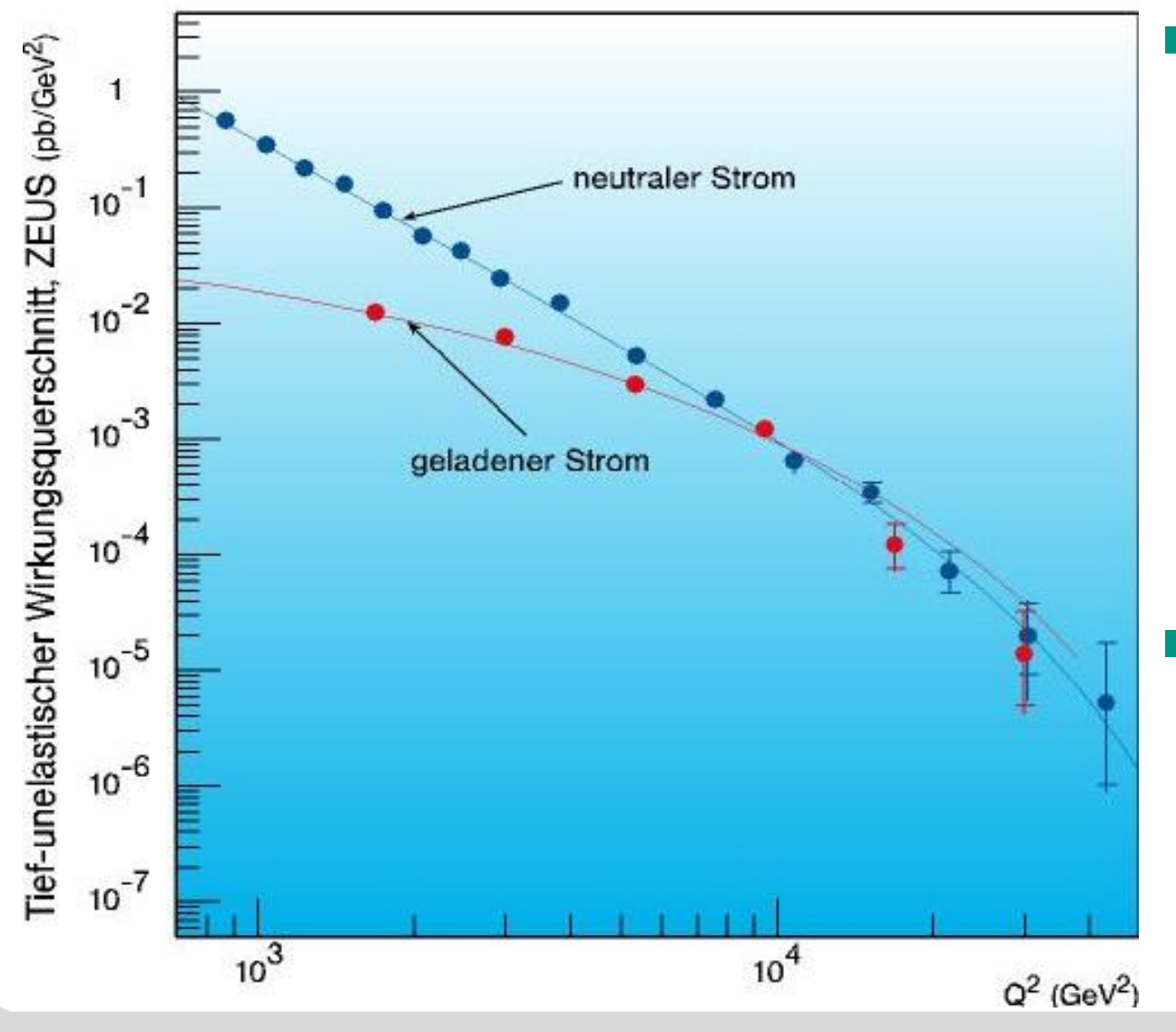
3 Farbfreiheitsgrade der QCD ☑



# Elektroschwache Wechselwirkung



 eine zentrale Säule des Standardmodells (SM) ist die Vereinheitlichung von elektromagnet. & schwacher Ww. zur elektroschwachen Wechselwirkung



20

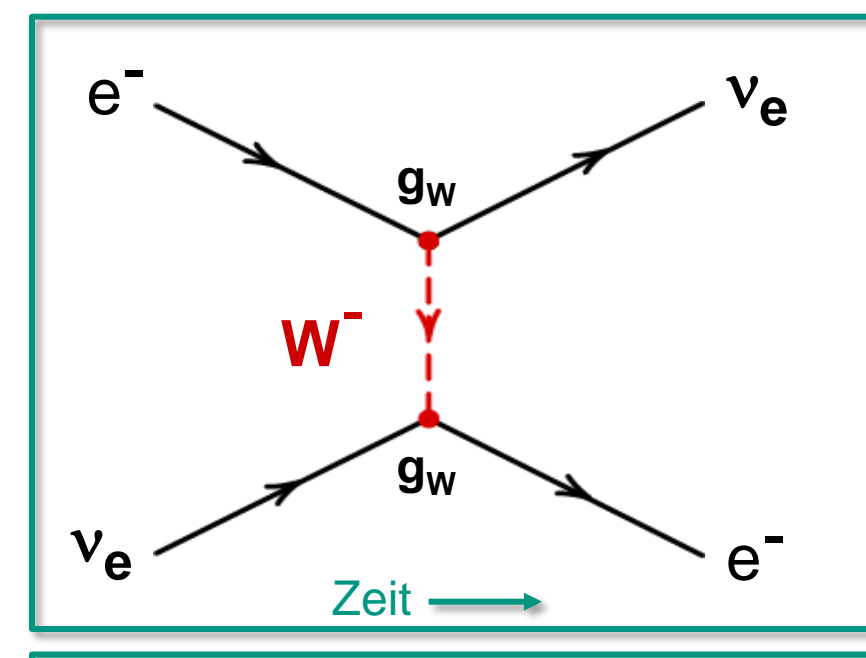
- eine wichtige Vorhersage des Glashow-Weinberg-Salam Modells war die Existenz von schwachen neutralen Strömen (weak neutral currents, NC) NCs werden durch den Austausch von massiven Z<sup>0</sup>-Bosonen vermittelt
- bei hohen Energien (HERA)
   lässt sich experimentell direkt die Vereinheitlichung der Stärke der beiden Wechselwirkungen beobachten

27.5.2010 G. Drexlin – VL13 KIT-IEKP

# Schwache Wechselwirkung - Vektorbosonen



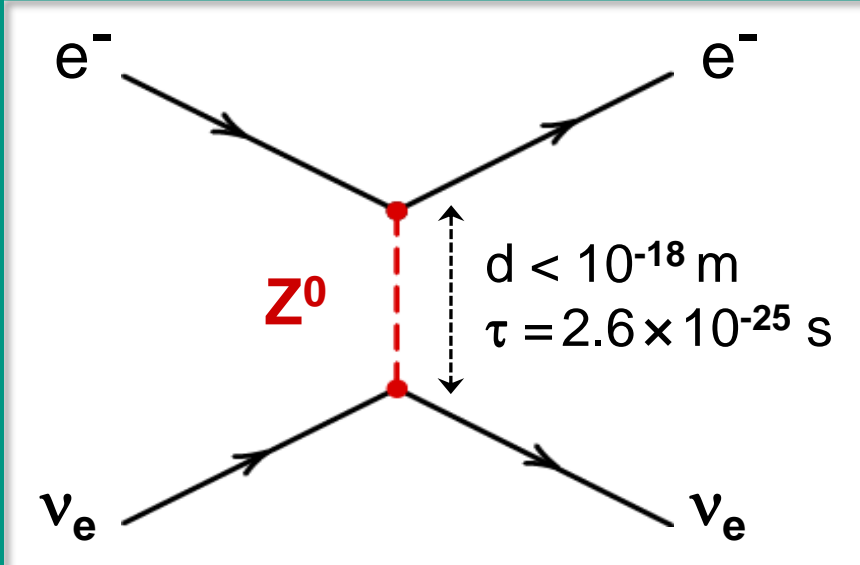
#### Intermediäre Vektorbosonen JP = 1



#### Geladene Ströme

'charged current' (CC) Reaktionen

- Ladungstransfer durch Austausch von geladenen W+ W- Bosonen (M = 80.42 GeV)
- vermittelt Übergänge in einem schwachen
   Isospindublett (u ⇔ d′) (e⁻ ⇔ v<sub>e</sub>)



#### Neutrale Ströme

'neutral current' (NC) Reaktionen

- kein Ladungstransfer, Austausch von neutralen Z<sup>0</sup> Bosonen (M = 91.19 GeV)
- Flavour-Universaliät des NC: identische Kopplung  $\nu_{\rm e},\,\nu_{\rm u},\,\nu_{\rm \tau}$  an Z<sup>0</sup>

## geladene & neutrale schwache Ströme

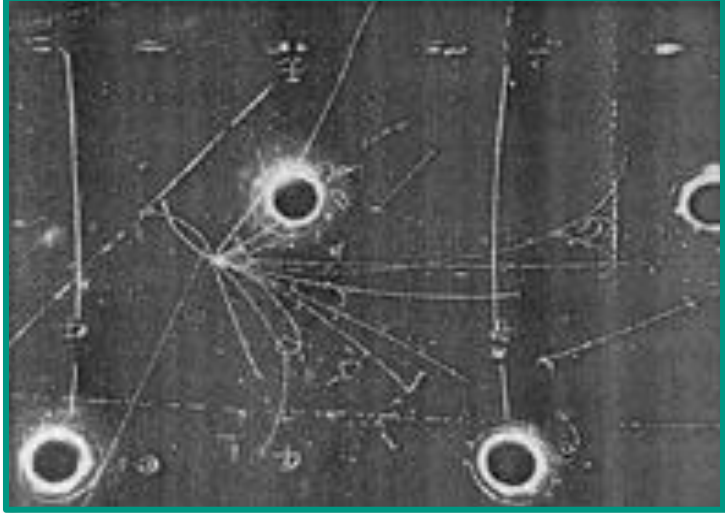


1973: erster Nachweis von neutralen Ströme am CERN mit Gargamelle

Gargamelle Blasenkammer

(Target: 20 t Freon,  $\ell = 4.8 \text{ m}$ ,  $\emptyset = 1.9 \text{ m}$ )





### geladener Strom: W+, W-

Untersuchung tiefinelastischer Reaktionen an Kernen 
v<sub>µ</sub> + N → µ⁻ + Hadronen 
CC Ereignis: Identifikation durch auslaufendes Myon µ



22

27.5.2010



#### neutraler Strom: Z<sup>0</sup>

Untersuchung von Streuungen Von Neutrinos an Elektronen

$$\nu_{\mu}$$
 + e<sup>-</sup>  $\rightarrow \nu_{\mu}$  e<sup>-</sup>

NC Ereignis: Identifikation durch auslaufendes Elektron e

G. Drexlin – VL13 KIT-IEKP

### neutrale schwache Ströme



■ parallel zur Suche nach neutralen Strömen bei tiefinelastischen Neutrino-Reaktionen an Kernen wurden NC Ereignisse  $\nu_{\mu} + e^{-} \rightarrow \nu_{\mu} + e^{-}$  beobachtet

Analysegruppe in Aachen: visueller Scan von Teilen der ~700.000 aufgenommenen Gargamelle Bilder





